

# V-86 アスファルト合材の透水、透気性と力学性状について

北海道大学工学部	正会員	○川 野 敏 行
旭化成工業株式会社	"	梶 恭 典
日本道路株式会社	"	平 井 康 次
日土総合開発株式会社	"	加 藤 浩
京都府	"	中 居 隆 章

## 1. ま え が き

アスファルトコンクリート舗装の配合設計において、現在一般に行われているマニアル試験法における空隙率は、あくまでも空隙の量を表わすものであるが、透水、透気係数は空隙を有として把握でき、舗装のキメを数値で表めることができる。透水性が大きいとドレンダーの酸化、硬化を助長し、またあまり小さいと揮発成分の逃げ道がなくなり、滑りやすくなったり、アリスタリングを生じたりする。したがって舗装の耐久性を考える場合、その限界を知ることが重要な要素となるべきことが考えられる。そこで本研究はアスファルト合材(密粒式アスファルトコンクリート)の透水、透気性と、その低温、高温における力学性状を比較検討し、透水、透気性と、その低温、高温における力学性状を比較検討し、透水、透気性と力学性状との関係を追求しようとするものである。

## 2. 使用 材 料

実験に使用した合材は密粒式アスファルトコンクリートとし、その使用アスファルト、骨材の性状および骨材粒度を表-1, 2, 3に示した。なお、粒度は表-1を予定粒度とし合成粒度とした。

表-1 アスファルトの性状

比重	針入度	軟化点	P.I.
25/25 1.016	97	47	-0.3

表-2. 骨材性状

骨材粒度	比重
15 - 10	2.67
10 - 7	2.67
7 - 5	2.67
5 - 2.5	2.68
2.5 - 1.2	2.74
1.2 - 0.6	2.78
0.6 - 0.3	2.80
粗目砂	2.63
粗目石粉	2.65

表-3. 骨材粒度

アレイ目	通過重量%
15	100
10	88
7	76
5	65
2.5	46
1.2	37
0.6	28
0.3	17
0.15	7
0.074	5

## 3. 実験方法

力学性状を把握するために行なった試験方法、および試験条件を表-4に示した。なお記録は高速曲げ試験はデジグラフに、その他の試験はすべてペンレコーダーにて記録させた。透水、透気試験はマニアル試験用供試体の表面を両面カットして用い、試験容器と供試体の間をPen 4%のアスファルトでシールし試験に供し、次式によつて透気係数、透水係数を求めた。

$$\text{透気係数}(K) = \frac{\mu Q L}{A(P_1 - P_2)}$$

$P_1 - P_2$ : ヘッド差

$$\mu = 1.2 \times 10^{-3} \text{ g/cm}^3$$

(20°C の空気の密度)

$$Q = 1.85 \times 10^{-8} \text{ g/sec/cm}^2$$

(20°C の空気の粘性係数)

$$\text{透水係数}(R) = K \cdot \frac{f}{\mu}$$

表-4. 実験方法

試験名	試験温度	供試体寸法	載荷速度	
マ-シャル試験	60 °C			アスファルト舗装表面に導入
Wheel Tracking	45 °C	30×30×5	42 pass/min	接地面積 10.1 cm <sup>2</sup> , 接地圧 5.5 kN/cm <sup>2</sup>
一軸圧縮試験	60, 45, 25 °C	3.7×3.7×8	56.6 cm/min	マ-シャル試験と同スピード
曲げ試験	25, 10, 5, 0 °C	2.5×2.5×25	1, 10 cm/sec	Stress = $3P/2ab^2$
		"	0.1 cm/sec	Strain = $6bd/e^2$

図-2

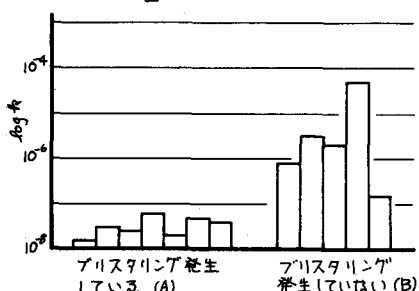
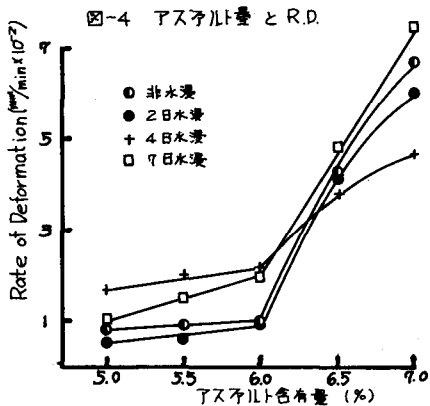


図-4 アスファルト量とR.D.



#### 4. 実験結果

##### 1) アスファルト量と透水、透気係数について

アスファルト量と透水係数の対数をとると、アスファルト量と透水係数の関係はほぼ直線関係にある(図-2)。アスファルト量が増加すると締め固め粘度の影響が大きくなり、また締め固め粘度が増加すると透水係数も増加する傾向にある。また図-2は現場から切り取ったコアを用いて、表面がどの程度の透水係数を持ち、実際にフリーストライングを生じた附近と、生じなかつ附近的のものはどうであるかを見たものである。これによるとA

図-1 アスファルト量と透水係数

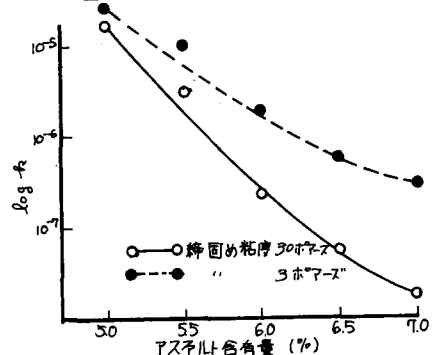


図-3. アスファルト量と一軸圧縮強さ

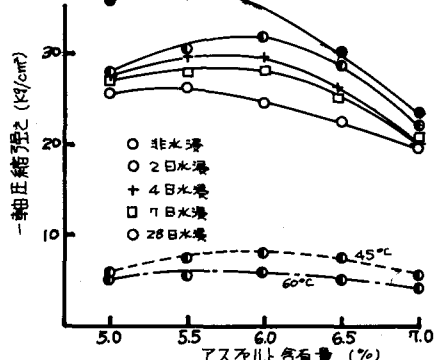
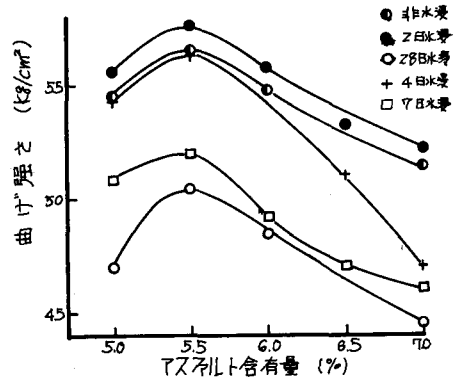


図-5. アスファルト量と曲げ強さ



ゲループのものは、Bゲループのそれに比べて透水係数はきわめて小さく、アリスタリングの発生した附近の透水係数は  $10^{-7} \text{ cm/sec}$  以下であり、アリスタリングを発生していない附近の透水係数は  $10^{-6} \text{ cm/sec}$  である。

### 2) アスベスト合材の力学性状について

図-3, 4, 5はアスベスト量とR.D (Rate of Def.) 一軸圧縮強さ、曲げ強さの関係を非水浸、水浸(2, 4, 7, 28日) (たて試体について示したもの)である。図-3からR.Dはアスベスト量が多くなるにつれて大きくなり、5~6%までは  $1 \times 10^{-2} \text{ mm/min}$  とほぼ一定であるが、6.5%以上になると  $4.6 \times 10^{-2}$  を示し急激に不安定となり、6%附近は安定領域の限界と考えられる。この点はフニャル安定度の最高点とも一致する。すなわちフニャル安定試験より求めた最適アスベスト量より0.5%ほど富配后にした方が望ましいと考えられる。また水浸後の結果を見ると、各試験とも2日水浸のものは安定となり、強度の増加が見られる。この増加は空隙量の多いものほど大きく間隙水圧等の影響が考えられる。以上高湿性状について見たが、図-7, 6は低湿性状について求めたものであるが、最大曲げ強さの範囲は引張速度に關係なしに、80~100% $\text{cm}^2$  の間にあり、脆化率はアスベスト量の影響はあまりなく、富配后になるとわずかに左側にずれる傾向にある。また破断時の歪を見ると各湿度におけるアスベスト量5%に対する7%の破断時の歪の比は表-5のようになり、アスベスト量2%の増加により破断時の歪は1.4~2.1倍大きくなるが湿度による破断時の歪の変化は小さい。

### 5. 結論

アスベスト合材の透水、透気性とその力学性状を検討するため、それを取り巻く種々の試験を行ったが、表-6は各試験の結果がアスベスト量の変化に伴ない、どのような動きをするかまとめたものであり、矢印が上向きのものは合材の性質として望ましい方向に向かい、下向きのものはその逆であり、○印は安定範囲内にあるものと考えられる。以上総合的に見るとフニャル試験から得られる最適アスベスト量よりも多少富配后にした方が望ましく、透水係数は  $10^{-7} \text{ cm/sec}$  程度と考えられ、アスベスト合材の配后設計に際して、耐久性審視の見地からアスベスト量を増加させるような時は、

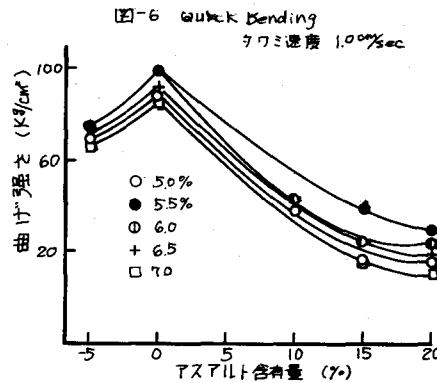


図-6 Quick Bending  
引張速度  $1.0 \text{ cm/sec}$

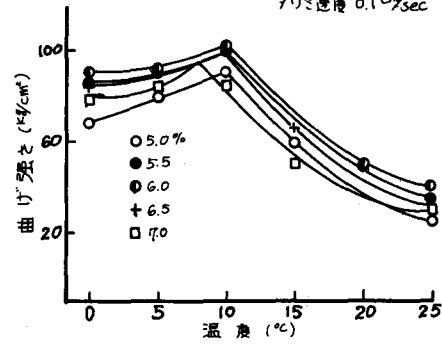


図-7 Slow Bending  
引張速度  $0.1 \text{ cm/sec}$

温度	0	5	10	15	20	25
$10 \text{ cm/sec}$	1.4	1.4	1.5	2.0	2.0	2.0
$1 \text{ cm/sec}$	1.5	1.5	2.2	2.2	2.0	1.9
$0.1 \text{ cm/sec}$	2.1	2.0	1.8	1.8	2.0	2.0

表-5

マーティル試験と併行して、透水、透気試験に対する検討を考へるべきである。

試験名		アスファルト量 (%)	5.0	5.5	6.0	6.5	7.0
60°C	マーティル試験 安定度 (kg)	最適量		○ 5.4%			
	"	60.5	62.5	67.0	63.5	57.5	
45°C	一軸圧縮試験 強度 (kg/cm)	5.0	5.6	5.8	5.0	3.8	
	"	6.5	7.5	7.8	7.4	5.8	
25°C	一軸圧縮試験 强度 (%)	0.8 × 10 <sup>-2</sup>	0.9 × 10 <sup>-2</sup>	1 × 10 <sup>-2</sup>	4.6 × 10 <sup>-2</sup>	6.7 × 10 <sup>-2</sup>	
	高速曲げ試験 强度 (%)	28.0	30.4	31.7	28.6	22.0	
10°C	高速曲げ試験 强度 (%)	54.5	56.4	54.7	52.6	52.0	
	低速曲げ試験 强度 (%)	18.2	20.0	14.5	12.5	9.8	
0°C	高速曲げ試験 强度 (%)	89.0	92.0	102.5	98.0	88.0	
	低速曲げ試験 强度 (%)	43.0	44.0	42.0	42.0	36.5	
20°C	透気係数	77.2	81.5	85.5	76.0	68.0	
	透水係数	1.8 × 10 <sup>-10</sup>	4.6 × 10 <sup>-11</sup>	3 × 10 <sup>-12</sup>	9 × 10 <sup>-13</sup>	1.5 × 10 <sup>-14</sup>	

註) 勾引: 速度 : 圧縮試験 56.6 mm/min, 高速曲げ 10 cm/sec, 低速曲げ 0.1 cm/sec

#### 参考文献

- 1). 省原照雄 他「第9回道路会議一般論文集」『舗装の変形に関する基礎的研究』
- 2). J. F. MacLaughlin, W.H. Goetz Highway Research Board Vol. 34 '55  
「Permeability, Void Content, and Durability of Bituminous Concrete」
- 3). W.H. Ellis, R.J. Schmidt. A.S.T.M. STP 294, Am. Soc. Testing Mats '60  
「A Method of Measuring the Air permeability of Asphalt Concrete Pavements」
- 4). W.J. Kari, L.E. Santucci, A.A.P.T. Vol. 32, '63  
「Control of Asphalt Concrete Construction by the Air permeability Test」